Химия

УДК 544.723;661.183

СИНТЕЗ И ПРИМЕНЕНИЕ НАНОСТРУКТУРИРОВАННОГО ГРАФИТА

Г.П. Хандорин, Г.И. Дубов, В.И. Мазин, В.Г. Макотченко**, А.С. Назаров**, В.Е. Федоров**, О.Л. Хасанов*, Н.В. Рязанцева***, А.В. Штейнле****, Л.А. Штейнле****, О.Е. Чечина***, А.В. Ратькин***

Томский атомный центр

*Томский политехнический университет

**Институт неорганической химии им. А.В. Николаева СО РАН, г. Новосибирск

***Сибирский государственный медицинский университет, г. Томск

****Томский военно-медицинский институт

E-mail: steinle@mail.tomsknet.ru

Разработана опытно-промышленная технология синтеза наноструктурированного графита путем фторирования графита гептафторидом йода и термическим разложением интеркалированных соединений фторированного графита. Создана экспериментальная технологическая установка, изготовлены опытные партии наноструктурированного графита с высокой площадью удельной поверхности и сорбционной емкостью, которые апробированы в качестве сорбента в перевязочных медицинских материалах.

Ключевые слова:

Интеркалированные соединения фторированного графита, наноструктурированный графит, фторгалогены, адсорбционная способность, раневая повязка.

Key words:

Fluorinated graphite intercalated compounds, nanostructured graphite, fluorine-halogens, adsorption ability, wound dressing.

В начале 70-х гг. XX в. в Институте неорганической химии им. А.В. Николаева СО РАН, г. Новосибирск, было показано [1], что при взаимодействии графита с сильными фторокислителями (CIF₃, CIF₅, BrF₃, BrF₅, XeF₂, JF₇, FNO₃) или их растворами в неводных растворителях (HF, фреоны) в области температур 20...100 °С образуются полифторидуглероды в форме их интеркалированных соединений, содержащие, соответственно, или фторокислитель, или фторокислитель и растворитель, с общей формулой $C_xF \cdot y \ni F_n$ ($\cdot zR$), где $\ni F_n$ — фторокислитель, а R — растворитель (например, $C_{14}F \cdot CIF_3 \cdot 3HF$; $C_8F \cdot CIF_3 \cdot SbF_5$; $C_{31}CIF_8$ и др.).

За последние 30 лет накоплен значительный объем данных по синтезу и физико-химическим свойствам интеркалированных соединений фторированного графита (ИСФГ), которые получают низкотемпературным газофазным или жидкофаз-

ным фторированием природного графита сильными окислителями — фторгалогенами [2, 3].

Одним из интересных и важнейших свойств ИСФГ является их способность при термическом нагреве до 100...550 °C разлагаться с образованием пухообразного материала в виде наноструктурированного графита (НСГ) низкой плотности $(0,5...1,8\ {\rm кг/m^3})$, который обладает уникально высокой сорбционной емкостью по отношению к жидким фазам.

Установлено [4], что термическое разложение ИСФГ в зависимости от природы интеркалянта протекает по следующим схемам:

$$C_2F \cdot xC1F_3 \rightarrow C1_2 + CF_4 + CC1F_3 (300...500 \,^{\circ}C),$$
 (1)

$$C_2F \cdot xR \rightarrow R + HF + CF_4 \quad (100...400 \, ^{\circ}C),$$
 (2)

где $R=(CH_3)_2CO$, C_6H_6 и др. органические водородсодержащие соединения;

$$C_2F:xR\to R+CF_4$$
 (300...400 °C), (3) где $R=CCI_4$, $CCIF_3$, C_6F_6 и др. вещества этого типа; $C_2F:xR\to R+CF_4$ (100...400 °C), (4) где $R=N_2O_4$, N_2O и SO_2 .

Таким образом, при термораспаде ИСФГ расширение слоистых частиц графита достигается не только за счет возрастания давления паров летучего интеркалянта, как в случае известных интеркалированных соединений окисленного графита [5], но и за счет дополнительного образования тетрафторида углерода в результате термораспада фторграфитовой матрицы и возможного образования газообразных продуктов взаимодействия интеркалянта с матрицей. Это приводит к большей степени расширения слоистой структуры графита и к получению НСГ с гораздо меньшей насыпной плотностью, а, следовательно, и большей сорбционной емкостью.

Изучение указанных свойств НСГ [4, 6], получаемых при термораспаде ИСФГ, полностью подтвердило эти предположения. Данные, приведенные в табл. 1, показывают, что термораспад ИСФГ при умеренных температурах позволяет получать НСГ с насыпной плотностью по объему $0,5...1,10~{\rm дм}^3/{\rm r}$.

Таблица 1. Насыпная плотность и массовый выход НСГ при термораспаде ИСФГ идеализированного состава C₂F-xR

| | Содержание ма- | Содержа- | Выход | Плотность | |
|------------------------------------|-----------------|-------------|-----------|--------------|--|
| R $B C_2F \cdot xR$ | тричного угле- | ние R, НСГ, | | НСГ по объе- | |
| | рода, ±1 мас. % | ±1 мас. % | ±1 мас. % | му, дм³/г | |
| CIF ₃ | 43 | 21 | 33 | 0,590,77 | |
| N ₂ O | 44 | 17 | 40 | 0,530,71 | |
| (CH ₃) ₂ CO | 48 | 14 | 44 | 0,500,53 | |
| CCl ₄ | 42 | 23 | 38 | 0,670,77 | |
| CCIF ₃ | 43 | 20 | 39 | 0,590,67 | |
| J ₂ | 28 | 49 | 22 | 0,831,10 | |

В табл. 2 приведены данные [3] по сорбционной емкости наноструктурированного графита, полученного из ИСФГ, по отношению к керосину, несимметричному диметилгидразину (НДМГ) при $20~^{\circ}$ С и тетраоксиду диазота при $0~^{\circ}$ С. Для сравнения в табл. 2 приведены аналогичные данные для расширенных графитов (РГ), полученных из интеркалированных соединений окисленного графита (ИСОГ) — бисульфата и нитрата графита, приготовленных по стандартным методикам [5].

Таблица 2. Сорбционная емкость различных форм РГ по отношению к жидким токсикантам

| | Насыпная плот- ность по объему, | Сорбционная емкость НСГ (РГ), г/г | | | |
|------------|------------------------------------|--------------------------------------|--------|----------|--|
| НСГ (РГ) | дм³/г | Керосин | НДМГ | N_2O_4 | |
| ИСФГ | 0,590,77 | 8090 | 240260 | 90100 | |
| ИСОГ (БГ*) | 0,200,23 | 3040 | 7080 | 4050 | |
| NCOL (HL*) | 0,300,33 | 3040 | 7080 | 4050 | |

^{*}Соответственно, бисульфат (БГ) и нитрат (НГ) графита.

Отметим, что в результате фторирования графитовой матрицы сильными фторокислителями в графеновых слоях частично разрываются ковалентные связи между атомами углерода, и в массе ИСФГ образуется огромное количество свободных радикалов — ненасыщенных атомных связей. Этим, в частности, объясняется последующая высокая сорбционная емкость наноструктурированных форм графита из ИСФГ по отношению к жидким органическим веществам и большим биологическим молекулам (табл. 3) [6].

Таблица 3. Сорбционная емкость НСГ (РГ) по отношению к органическим веществам

| Предшествен- | Сорбционная емкость по отношению к органическому веществу, г/г | | | | | | | | | |
|----------------------------------------|----------------------------------------------------------------|--------|------------------|-----------|--------------------------------|------|--|--|--|--|
| (размер ча- стиц) | Ацетон | Бензол | CCl ₄ | Бромоформ | H ₂ SO ₄ | ндмг | | | | |
| НСГ | | | | | | | | | | |
| C₂F· <i>x</i> ClF₃ (200300 мкм) | 190 | 205 | 342 | 591 | 395 | 188 | | | | |
| C₂F· <i>x</i> ClF₃ (630 мкм) | 176 | 195 | 320 | 570 | 376 | 180 | | | | |
| C₂F- <i>x</i> (CH₃)₂CO (200300 мкм) | 151 | 166 | | 406 | 322 | 145 | | | | |
| РГ | | | | | | | | | | |
| БГ** (200300 мкм) | 22 | 19 | 29 | 47 | 32 | 19 | | | | |
| УСВР** | - | 35 | 50 | - | 40 | 20 | | | | |

**Соответственно, бисульфат графита (БГ) и углеродная смесь высокой реакционной способности (УСВР).

Наноструктурированный графит, образующийся при термораспаде ИСФГ, — это материал, содержащий 88...97 мас. % углерода и 2...12 мас. % фтора, ковалентно связанного с углеродом, а также другие элементы. По сути, НСГ является продуктом химически безопасным для человека и представляющим собой стерильную графеновую вату.

Острой и актуальной проблемой является профилактика и борьба с инфекционными осложнениями ранений и травм. Несмотря на применение новейших антибиотиков и стремления следовать правилам адекватной антибактериальной терапии, частота инфекционных осложнений неуклонно увеличивается. В решениях многочисленных мировых хирургических форумов постоянно указывается на важность изыскания новых средств предупреждения развития инфекции в ране, ускоряющих процессы очищения от некротических тканей и усиливающих регенерацию. Тем не менее, задача далека от окончательного решения.

Использование повязок является основным методом лечения ран и профилактики инфекционных осложнений, и ассортимент разрабатываемых перевязочных средств в мире постоянно растет. Особенно актуально создание повязок для первой фазы раневого процесса, когда необходимы сорбирующее, антимикробное, некролитическое и обез-

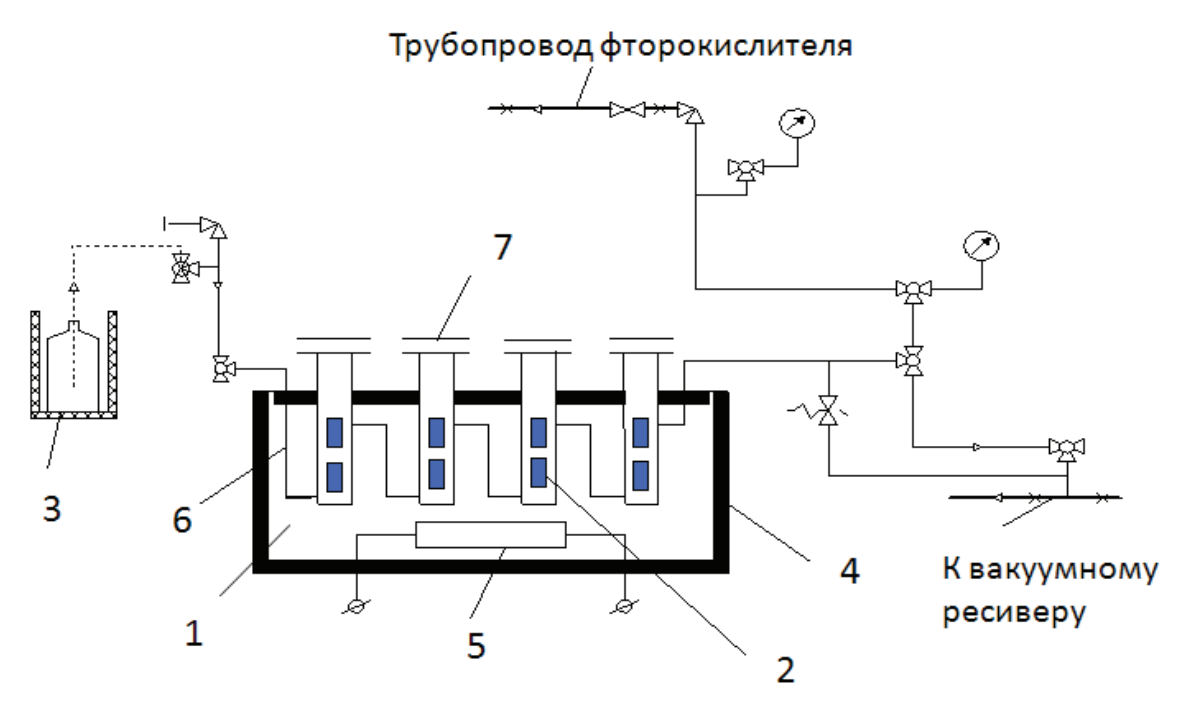


Рис. 1. Схема экспериментальной технологической установки для синтеза ИСФГ фторированием графита в газовой фазе фторокислителей: 1) модуль синтеза; 2) тигель с навеской графита; 3) сосуд Дьюара с жидким азотом; 4) термоизолирующий кожух; 5) трубчатый нагреватель; 6) газовые трубки; 7) крышка колонки

боливающее защитные действия. В этом направлении ещё не в полной мере раскрыт потенциал нанотехнологий и наноматериалов.

Целью настоящего исследования являлось разработка опытно-промышленной технологии изготовления наноструктурированного графита и создание на его основе сорбционного слоя для раневой адсорбирующей повязки с высокой сорбционной способностью.

Исследуемые материалы и условия экспериментов

В качестве исходных реагентов для синтеза интеркалятов фторграфита использовали природный крупнокристаллический графит Тайгинского месторождения (Урал, Россия) – чистота 99,9 %, содержание фракции 0,2 мм 80 мас. %, расстояние между графитовыми слоями 0,336 нм; а также гептафторид йода с массовой долей ЈР, не менее 98.5 мас. % производства ОАО «Сибирский химический комбинат», г. Северск. Предпочтительное использование ЈР, для интеркалирования природного графита обусловлено тем, что фториды йода из фторгалогенов наименее химически агрессивные вещества, а элементный йод, образующийся при термическом разложении ИСФГ, широко используется в медицинской практике и обладает дезинфецирующим действием.

Брутто-реакцию фторирования графита гептафторидом йода можно записать как:

$$C+(1+y)JF_7 \rightarrow C_2F+JF_5+yJF_7 \rightarrow C_2F\cdot JF_5\cdot yJF_7.$$
 (5)

Процесс фторирования ведется в течение 4...12 ч при температуре 20 °С. Эквивалентная формула образующегося ИСФГ: от $C_{1.8}F\cdot 0,16JF_5$ до $C_{1.4}F\cdot 0,2JF_5$ [3]. Схема экспериментальной технологической установки приведена на рис. 1. В технологии полностью отсутствуют жидкие сбросы и токсичные газовые выбросы, что делает ее экологически привлекательной при масштабном применении.

В результате синтеза получены навески ИСФГ с приростом массы от 2,3 до 3,5 г/г графита. Микрофотография порошка ИСФГ приведена на рис. 2. Порошок имел насыпную плотность \sim 0,4 г/см³. Химический состав порошка (мол. доли) — углерод : фтор : йод = 2,34 : 1,25 : 0,38.



Рис. 2. Микрофотография порошка ИСФГ

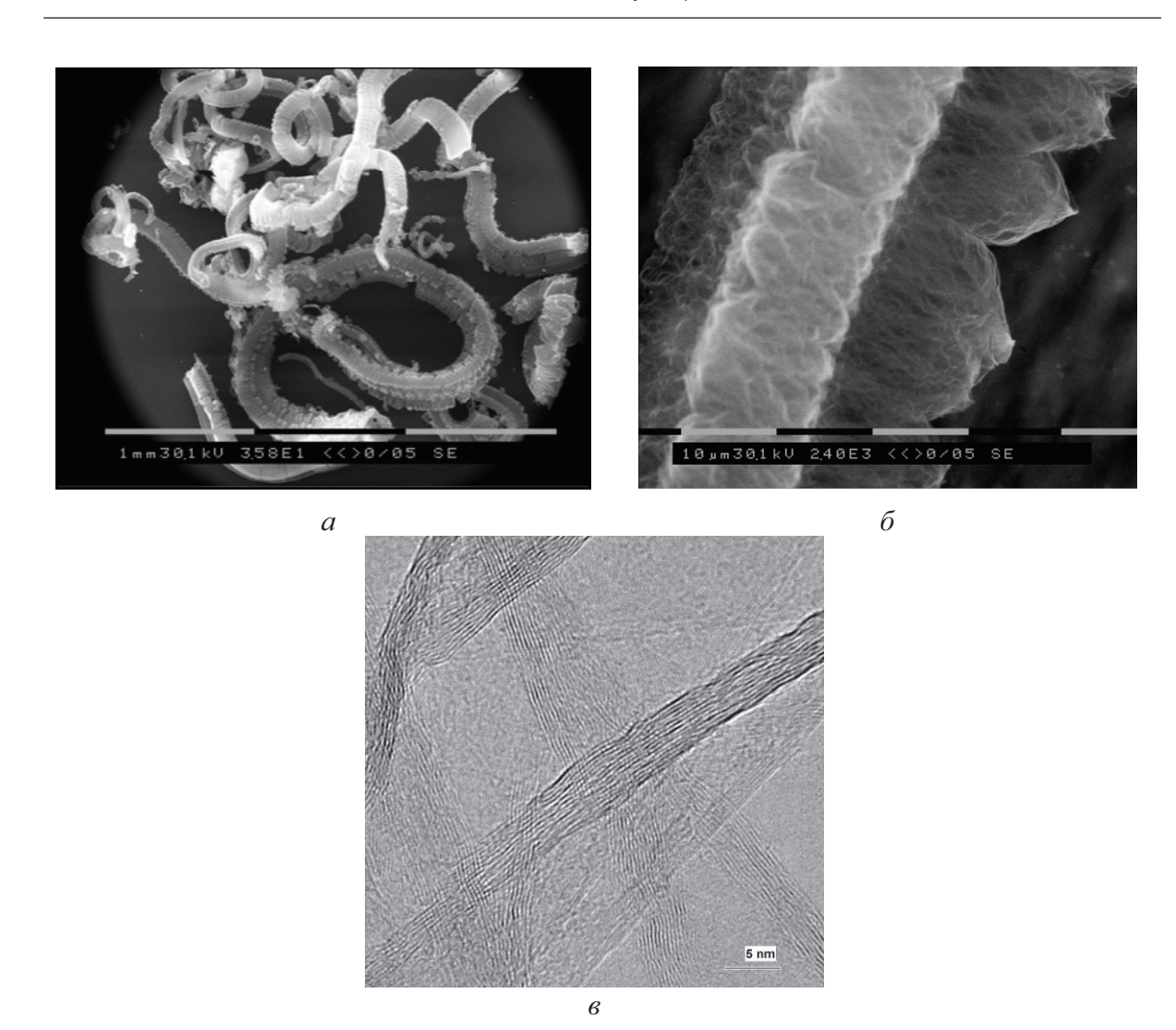


Рис. 3. ПЭМ-фотографии частиц наноструктурированного графита: а) внешний вид частиц НСГ (масштаб 1 мм); б) наноструктура частицы (масштаб 10 мкм); в) графеновые кластеры в НСГ (масштаб 5 нм)

Термическую деструкцию ИСФГ осуществляли в разогретом сушильном шкафу, помещая туда навески ИСФГ массой от 0,3 до 0,5 г в тонкостенном стакане из нержавеющей стали объемом 0,25 дм³. Образующийся наноструктурированный графит представлял собой пухообразный материал черного цвета объемной плотностью без утрамбовки более 1 дм³/г. Данные просвечивающей электронной микроскопии (ПЭМ) представлены на рис. 3.

Частицы НСГ (рис. 3, a) представлены спиралевидными нитями длиной до 7...10 мм и толщиной, соответствующей размеру чешуек природного графита. Графеновые слои в НСГ разделены между собой (рис. 3, δ), и по данным малоуглового нейтронного рассеяния толщина стопок графеновых слоев составляет от 6 до 8 нм, которые подтверждены электронной микрофотографией (5...6 нм)

(рис. 3, в), что соответствует 15–25 графеновым слоям в стопке. Расстояние между графеновыми листами в стопках увеличено до 0,345...0,349 против 0,336 нм природного графита. Содержание адсорбированного йода достигало 1...2 мас. %.

Анализ удельной поверхности НСГ проводился методом Брунауэра—Эммета—Теллера (БЭТ), по данным которого площадь удельной поверхности НСГ превышает 300 м²/г. Такой материал способен поглощать и прочно удерживать на 1 г до 300 г жидкости. После обработки природного графита фторокислителем получаемый НСГ полностью стерилен и безопасен для медицинских применений, что подтверждено клиническим исследованиями [7, 8].

Для хранения и транспортировки НСГ (графеновую вату) затаривали в однолитровые пластмассовые контейнеры (рис. 4).



Рис. 4. Однолитровые пластмассовые контейнеры, заполненные наноструктурированным графитом

Применение наноструктурированного графита

В данной работе НСГ, обладающий высокой сорбционной емкостью, был применен в качестве адсорбента в медицинских перевязочных материалах.

Известны, например, субмикропористые медицинские повязки ACTISORB® из активированного угля, импрегнированного серебром, производимые компанией «Johnson & Johnson Wound Management» [9]. Активный слой повязки изготавливается из плетеной вискозы, которую предварительно карбонизируют, а затем активируют при 800...900 °С в атмосфере углекислого газа. Активированный уголь связывает бактерии, токсины и запахи, а серебро подавляет размножение микроорганизмов, содержащихся в ране и, тем самым, снижает риск инфекционных осложнений. Среди отечественных перевязочных материалов известны аналогичные углеродные тканевые салфетки СО-РУСАЛ® и атравматические поверхностно-активные углеродные салфетки ЛЕГИУС®, выпускаемые ООО «НПЦ «УВИКОМ» [10]. Салфетки представляют собой ткань черного цвета саржевого переплетения, полученную путем карбонизации вискозной ткани в присутствии катализатора с последующей графитацией и обработкой электрохимическим методом.

Углеродная ткань салфеток ЛЕГИУС® подвергается спецобработке, в результате чего на поверхность углеродных волокон прививаются кислородосодержащие группы (карбонильные, карбоксильные, фенольные и др.). Содержание углерода — не менее 99,5 мас. %, площадь удельной поверхности — 2 м²/г, сорбция жидкости — до 130 мас. % [10]. Клинические исследования показали значительное превосходство углеродной активированной ткани в качестве перевязочного материала в сравнении с традиционными способами санации под влажно-высыхающими и мазевыми повязками.

Адсорбирующие повязки, представленные на рынке, по своей поглотительной способности не уступают медицинским марле и вате, а их цены по сравнению с ватно-марлевыми повязками существенно выше.

Поэтому в данной работе исследовалась эффективность применения перевязочных материалов с адсорбирующим компонентом НСГ, имеющим на два порядка большую площадь удельной поверхности, чем углерод в салфетке $ЛЕГИУС^{\circ}$, и соответственно, большую поглотительную способность для раневого отделяемого.

Для достижения цели работы коллективом авторов была предложена оригинальная раневая адсорбирующая повязка. Повязка включает слой проницаемого материала, находящийся в контакте с раневой поверхностью, прилегающий к нему адсорбционный слой, а также один и более внешних защитных слоев. Адсорбционным слоем повязки является графеновая вата из НСГ, полученная термическим разложением интеркалированных соединений на основе окисленной графитовой матрицы с гетероатомами фторгалогенов [7]. В качестве последних использовались фториды йода.



Рис. 5. Раневая повязка в виде сорбционной подушечки: а) графеновая вата из НСГ на фильтровальной бумаге; б) раневая повязка в форме адсорбционной подушечки

Сама повязка представляла собой сорбционную подушечку размером от 5×5 до 8×8 см, толщиной 2...4 мм, где в качестве проницаемого материала использовалась обеззоленная фильтровальная бумага (рис. 5). Подушечки после ультрафиолетовой стерилизации накладывались на рану. Для приготовления одной раневой повязки требовалось от 0,015 до 0,055 г НСГ в зависимости от размера. На рис. 5 для сравнения рядом с навеской графеновой ваты массой 0,035 г показана стандартная таблетка активированного угля массой 0,25 г.

Предложенная в качестве рабочего варианта проницаемого материала повязки обеззоленная фильтровальная бумага «Белая лента» обладает равномерным и однородным распределение пор на поверхности и прочно удерживает сорбционный слой из графеновой ваты внутри подушечки. Практически вся фильтровальная бумага такого типа подвергается пропитке синтетическими смолами, что обеспечивает ей достаточную прочность относительно механических, термических и климатических воздействий, а также придает стойкость к различным агрессивным средам. Проницаемые слои из такой бумаги не меняют природу раневого отделяемого, почти не адсорбируют жидкость внутри слоя, обладают минимальной адгезией, следовательно, атравматичны.

Результаты исследований НСГ в адсорбирующих повязках

Проведенные эксперименты по лечению ран на животных подтвердили, что поглощенное раневое отделяемое прочно фиксируется в межслоевых порах частиц НСГ. В итоге условия вегетирования микрофлоры в ране значительно ухудшаются. Воздухои паропроницаемость сорбционного слоя позволяют поддерживать сбалансированный воздухообмен и уровень влажности раневой среды. Графеновая вата из НСГ обладает преимущественно гидрофобными свойствами и не вызывает пересыхания раневой поверхности.

В исследуемой группе подушечки раневых повязок на всех перевязках послеоперационного периода отделялись от раневых поверхностей безболезненно, самостоятельно и без усилий. Поверхности подушечек раневых повязок со стороны ранбыли влажными, но сохраняли целостность. Наружные поверхности подушечек раневых повязок были абсолютно сухими и сохраняли белый цветфильтровальной бумаги. Масса подушечек с экссудатом на 1-е сутки после операции увеличивалась почти на 5000 % — с 0,035±0,003 г до 1,735±0,480 г.

В контрольной группе традиционные ватномарлевые повязки обильно промокали раневым отделяемым, которое протекало под повязки. Все повязки исчерпывали свой сорбционный потенциал в первые часы после наложения и прилипали к ранам. Конечности у животных контрольной группы были отёчны и болезненны при пальпации. Пере-

вязки были травматичны по сравнению с исследуемой группой, поэтому животные нуждались в обезболивании. Результаты цитологических исследований подтвердили высокую эффективность исследуемых раневых повязок с сорбционным слоем из графеновой ваты НСГ по сравнению с ватно-марлевыми повязками. Некротический тип цитограмм у всех животных в исследуемой группе отсутствовал [8].

Лучевые методы диагностики выявили на фоне сохранения кровотока в бедренных артериях исследуемой и контрольной групп слабое развитие коллатералей, длительные сужения бедренных артерий и пролонгированные увеличения скорости кровотока в них в контрольной группе животных. Это подтвердило затяжной характер восстановления кровообращения в сегментах конечностей у животных контрольной группы по сравнению с исследуемой. Морфологические исследования бедренных артерий и костей выявили восстановление их анатомии и функции [11].

При апробации наноструктурированного графита в качестве адсорбента раневой повязки в эксперименте in vitro проводилось исследование его токсических свойств в отношении клеток крови человека (мононуклеарные лейкоциты). Для этого выделенные у 12-ти здоровых добровольцев мононуклеарные лейкоциты в количестве 106 клеток/мл культивировались в течение суток в питательной среде с добавлением частиц НСГ, после чего с помощью трипанового синего оценивалась их жизнеспособность. Кроме того, методом проточной цитофлуориметрии проводилось изучение программированной гибели (апоптоза) клеток в аннексиновом тесте с использованием пропидия иодида. Исследования показали, что при воздействии на культуру мононуклеаров частиц НСГ в конечной концентрации (5,00 \pm 0,25) мг/мл уровень жизнеспособности клеток составил 97,5 (97,0...98,0) %, что достоверно не отличалось от значений исследуемого показателя в контроле [98,0 (97,0...98,0) %, p>0.05]. Количество погибших клеток путем апоптоза оказалось равным 3,5 (3,0...4,0) %, что было достоверно ниже (p=0.041) величины данного параметра в интактной культуре [5,0 (4,0...5,0) %].

Таким образом, сорбционный слой повязки из наноструктурированного графита обеспечивает эффективный «вертикальный дренаж», не позволяет раневому отделяемому проникать на кожные покровы, создаёт благоприятные условия для скорейшего перехода в фазу регенерации; является воздухо- и паропроницаемым. По своей адсорбционной и поглотительной способности графеновая вата из наноструктурированного графита значительно превосходит все известные сорбционные материалы как медицинского, так и общетехнического значения. Исследование его токсических свойств в отношении клеток крови человека показало, что наноструктурированный графит не оказывает цитотоксического влияния.

Выводы

- 1. Разработана опытно-промышленная технология синтеза наноструктурированного графита путем фторирования графита гептафторидом йода с последующим термическим разложением интеркалированных соединений фторированного графита. Создана экспериментальная технологическая установка, изготовлены опытные партии наноструктурированного графита с высокой площадью удельной поверхности (300 м²/г) и сорбционной емкостью (300 г жидкости на 1 г наноструктурированного графита).
- 2. Наноструктурированный графит апробирован в качестве сорбента в перевязочных медицин-

ских материалах. Исследование раневой адсорбирующей повязки с сорбционным слоем на основе наноструктурированного графита показало ее высокую ранозаживляющую активность и отсутствие цитотоксических свойств. Это открывает перспективы и является основанием для проведения комплексных исследований по разработке и созданию опытно-промышленных образцов нового перевязочного материала.

Исследования выполнены при поддержке ГК № 02.513.11.3434 ФЦП «Исследования и разработки по приоритетным направлениям развития научно-технологического комплекса России на 2007—2012 годы».

СПИСОК ЛИТЕРАТУРЫ

- Митькин В.Н. Обзор типов неорганических полимерных фторуглеродных материалов и проблем взаимосвязи их строения и свойств // Журнал структурной химиии. — 2003. — Т 44. — № 1. — С. 99—138.
- Макотченко В.Г., Назаров А.С., Федоров В.Е. и др. Образование интеркалированных соединений в системах «графит-фторокислитель» // Современные неорганические фториды: Сб. трудов I Междунар. сибирского семинара ISIF-2003 по современным неорганическим фторидам / под ред. д.х.н., проф. В.В. Волкова. Новосибирск, 2003. С. 177–180.
- Макотченко В.Г., Назаров А.С., Федоров В.Е. и др. Синтез полифториддиуглерода и области его применения // Фторидные технологии: Тезисы докл. Всеросс. научно-практ. конф. – Томск: Изд-во ТПУ, 2009. – С. 56.
- Логвиненко В.А., Макотченко В.Г., Назаров А.С., Федоров В.Е. Использование интеркалированных соединений фторированного графита для получения новых форм расширенного графита // Современные неорганические фториды: Сб. трудов I Междунар. сибирского семинара ISIF-2003 по современным неорганическим фторидам / под ред. д.х.н., проф. В.В. Волкова. Новосибирск, 2003. С. 163–165.
- 5. Ярошенко А.П., Савоськин М.В. Высококачественные вспучивающиеся соединения интеркалированного графита новые подходы к химии и технологии // Журнал прикладной химии. 1995. Т. 68. № 8. С. 1302—1306.

- Макотченко В.Г., Назаров А.С., Федоров В.Е. и др. Нанографит в инженерной экологии и хирургии повреждений // Фторидные технологии: Тез. докл. Всеросс. научно-практ. конф. Томск: Изд-во ТПУ, 2009. С. 57.
- Рязанцева Н.В., Хандорин Г.П., Хасанов О.Л. и др. Экспериментальное обоснование эффективности раневой адсорбирующей повязки на основе наноструктурированного графита // Бюллетень сибирской медицины. 2009. Т. 8. № 4. С. 60–63.
- Штейнле А.В., Рязанцева Н.В., Гаврилин Е.В. и др. Чрескостный остеосинтез и нанотехнологии в лечении сочетанных огнестрельных костно-венозных повреждений конечностей // Сибирский медицинский журнал. 2009. Т. 24. № 3. С. 92–102.
- Лечебная повязка с активированным углем и серебром ACTI-SORB. 2010. URL: http://www.legmed.ru (дата обращения: 05.02.2010).
- Раневая сорбирующая повязка: патент 2173175 Рос. Федерация. Опубл. 10.09.2001.
- 11. Туманов В.П., Герман Г. Методическое руководство по лечению ран. М.: Пауль Хартманн, 2000. 123 с.

Поступила 05.02.2010 г.